

## 激光诱导硅表面化学反应形成 Ni-SiO<sub>2</sub>-Si 的准 MOS 结构膜\*

陆雪标 张 杰 潘世民 邱明新

(上海市激光技术研究所)

邹惠良

(上海测试技术研究所)

**提要:** 本文报道用激光诱导表面化学反应沉积金属膜的一种新实验结果。用 CW CO<sub>2</sub> 激光诱导硅片表面的 Ni<sub>2</sub>O<sub>3</sub> 与硅片衬底反应沉积镍膜, 一步形成 Ni-SiO<sub>2</sub>-Si 的准 MOS 结构。用多种表面分析方法对膜层的成份、性能进行测试分析, 并讨论了膜的生长机制。

**关键词:** 表面化学, 准 MOS 结构

## Ni-SiO<sub>2</sub>-Si quasi MOS structural film formed by laser-induced surface chemical reaction

Lu Xuebiao, Zhang Jie, Fan Shiming, Qiu Minxing

(Shanghai Institute of Laser Technology, Shanghai)

Zou Huiliang

(Shanghai Institute of Measuring Technology, Shanghai)

**Abstract:** New experimental results of depositing metal film by laser-induced surface chemical reaction is reported. By CW CO<sub>2</sub> laser illumination, the reaction between Ni<sub>2</sub>O<sub>3</sub> on silicon surface and silicon substrate was induced, Nickel film was deposited on silicon surface, and a quasi MOS structural film of Ni-SiO<sub>2</sub>-Si was formed by one step treatment. AES, X-ray diffraction, RBS, square resistance meter etc. were taken to analyze the composition and the characteristics of the film and the mechanism of its growth was discussed.

**Key words:** surface chemistry, quasi MOS-structure

### 一、引 言

半导体表面的难熔金属膜由于其高的热稳定性, 低的电阻率且不受电迁移的影响, 因而在大规模集成电路工艺中得到了广泛应用, 如用它来制作欧姆接触、电路布线、代替多晶硅作为栅极等<sup>[1, 2]</sup>。沉积金属膜的常见工艺有: 高真空蒸发、高真空溅射和化学气相沉积(OVD)等。近年来, 利用激光在半导体表面沉积难熔金属膜的研究已取得很大的进展, 可分为激光化学气相沉积、液相沉积和固相沉积<sup>[3, 4]</sup>。在激光诱导铝热还原反应、固相沉积金属膜时, 由于铝热反应

收稿日期: 1989 年 2 月 27 日。

\* 本课题为国家自然科学基金资助项目。

在瞬间释放出大量的热量，常使硅片表面熔化，基片受到损伤，同时易混进如  $\text{Al}_2\text{O}_3$  等反应杂质，影响膜层质量。

本文采用一种简易的、用激光诱导硅片表面催化还原镍的新方法，在固相反应中沉积镍膜，一步形成  $\text{Ni}-\text{SiO}_2-\text{Si}$  的准 MOS 结构膜。省去了铝还原剂，从而降低了反应时的温度。膜层的粘附性能很好，面积约  $30 \text{ mm}^2$ 。

## 二、实验及实验装置

实验装置如图 1 所示。1 为最大输出功率为  $35 \text{ W}$  的 CWCO<sub>2</sub> 激光器；2 为斩波器，用于改变激光器的平均输出功率；3 为锗片；4 为 He-Ne 激光器，经锗片 3 反射与 CO<sub>2</sub> 激光束共光路，用于瞄准样品沉积部位；5 为全反镜；6 为锗窗片；7 为玻璃反应池；8 为硅片，上面有一层  $\text{Ni}_2\text{O}_3$  粉末；9 为  $x-y$  平台，可作三维调节；10 为真空泵，通过活塞与反应池相联；11 为光学高温计，用于测量反应时的表面温度。

实验中所用基片是  $N$  型(111)，单晶抛光硅片，电阻率  $\rho = 80 \Omega \cdot \text{cm}$ ，实验前对硅片进行仔细的化学清洗。先用有机溶剂洗去表面油污，再用王水煮沸 10 分钟，经蒸馏水冲洗后用  $1:10$ (HF:H<sub>2</sub>O) 的氢氟酸稀溶液泡去硅片表面的天然氧化层，再用蒸馏水冲洗数次，吹干待用。实验过程

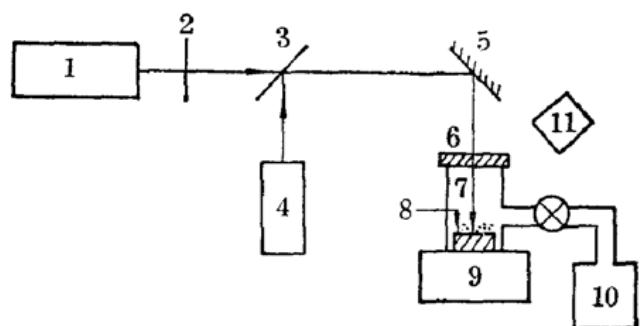


图 1 实验装置

中，反应池与真空泵始终相通，使反应池内的真空度保持在  $10^{-3}$  Torr 量级，激光器的平均输出功率为  $30 \text{ W}$ ，硅片表面  $\text{Ni}_2\text{O}_3$  粉末层的厚度约为  $0.5 \text{ mm}$ 。在激光辐照下， $\text{Ni}_2\text{O}_3$  对  $10.6 \mu\text{m}$  的 CO<sub>2</sub> 激光有强烈的吸收<sup>[5]</sup>，升温至白热状态，用光学高温计测得反应时粉末层的表面温度  $T_s = 1250^\circ\text{C}$ ，激光辐射时间为 10 分钟。经激光照射后的硅片，先用刷子刷去表面反应后的杂质，然后用化学试剂进行表面清洁处理，在硅片表面激光辐照处出现一层均匀、牢固的银黄色镍膜，其复盖面积约为  $30 \text{ mm}^2$ 。

## 三、测试结果与分析

本文用俄歇电子能谱仪(AES)、卢瑟福背散射技术(RBS)、X 射线衍射和扫描电子显微镜(SEM)等表面分析方法对沉积镍膜后的硅片进行了测试分析，结果表明，硅片表面的膜层呈  $\text{Ni}-\text{SiO}_2-\text{Si}$  的准 MOS 结构。

AES 方法适用于表面层元素组成的定性和定量分析，结合离子溅射刻蚀技术，可对表层元素组成作三维分布分析。本文用 AES 对沉积的膜层成份深度分布分析。图 2 是 AES 结合 Ar<sup>+</sup> 溅射蚀刻测得的膜层成份的深度分布。Ar<sup>+</sup> 的蚀刻速率约为  $15 \text{ nm/min}$ 。由图可知，在表层存在大量的镍，其纵向分布较为平整，厚度约为  $100 \text{ nm}$ 。在镍膜层与硅衬底之间有明显的界面互扩散，且在镍与硅的界面处有一个氧元素分布的峰值。其厚度为几十 nm。

离子背散射技术是用一定能量的高能  $\alpha$  粒子垂直入射到被分析的样品表面，入射到固体

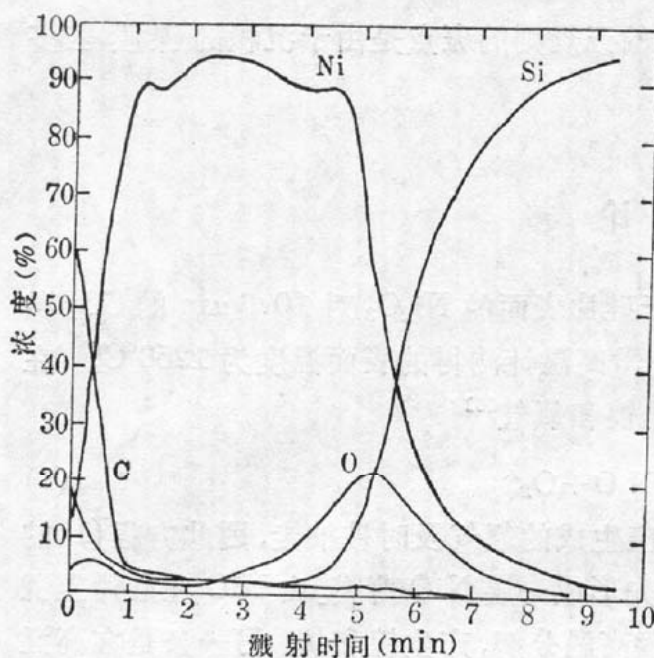


图 2 膜层的深度 AES 谱 ( $\text{Ar}^+$  刻蚀速率  $15 \text{ nm}/\text{min}$ )

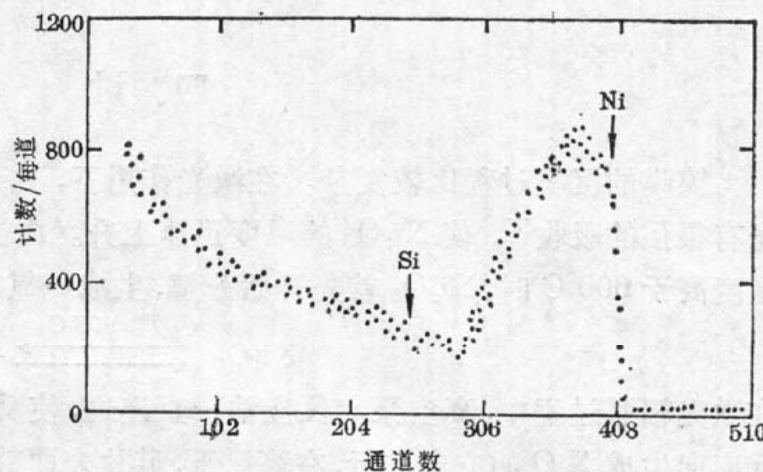


图 3 膜层的 RBS 谱

测试条件：散射离子 ( $\text{He}^+$ ) 的能量为  $2.0 \text{ MeV}$ ；散射离子总电量为  $3 \mu\text{C}$ ；散射角为  $165^\circ$ ；样品转动角为  $0^\circ$

内部的  $\alpha$  粒子受到晶格原子的散射而改变运动方向，部分  $\alpha$  粒子沿与入射方向成一定角度的方向返回逸出表面，通过分析这些返回的  $\alpha$  粒子的能量分布，可获得诸如表面薄膜元素、膜层厚度及界面扩散反应等信息。图 3 是样品的 RBS 谱图，在谱图的高能区域是镍原子的散射信号。散射信号很强，说明表层有大量的镍原子存在。在谱图的低能区域的散射信号是  $\alpha$  粒子透过表面镍膜进入基底硅晶格的散射。在镍与硅的散射信号之间，散射  $\alpha$  粒子能量分布连续，没有间断，说明镍与硅之间结合良好，并存在相互扩散，这些与 AES 的测试结果一致。但在高能区，被镍原子散射的  $\alpha$  粒子的能谱中没有出现台阶分布的能谱信号，说明镍与硅没有反应形成固定相的金属硅化物。从图 2 可知，这是由于在镍和硅的界面存在大量的氧，在界面的硅原子优先同氧结合的缘故。

本文还用 X 射线衍射对硅片表面的膜层进行了物相分析。图 4 是 X 射线衍射谱图。结果表明，沉积的镍膜呈多晶，有 (200) 和 (111) 两种晶面取向。谱图中除了衬底 (111) 单晶硅片的衍射峰外还有一个很强的  $\text{SiO}_2$  (110) 晶面的衍射峰，没有发现  $\text{SiO}_2$  的其它晶面的衍射信号，同时也没有硅化镍的信号。后者与 RBS 的测试结果一致。

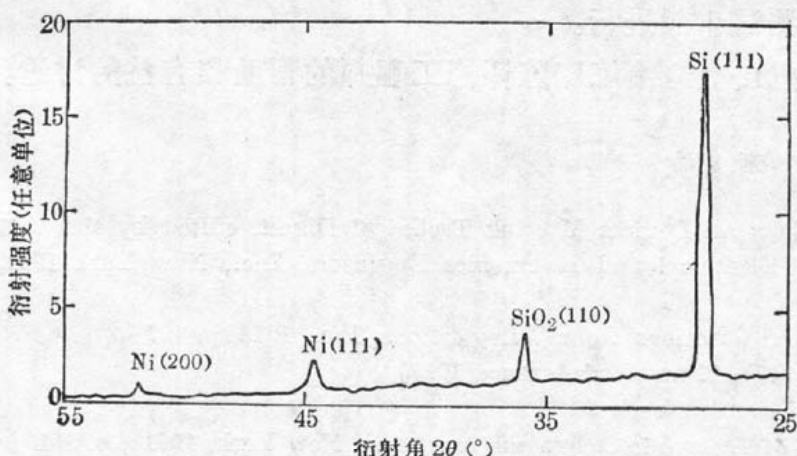


图 4 膜层的 X 射线衍射谱

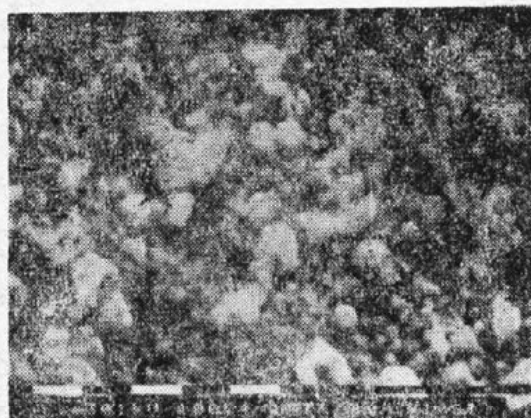
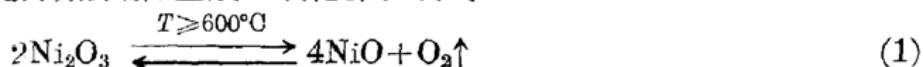


图 5 镍膜的扫描电镜 (SEM) 照片 (放大倍数  $10^4$ )

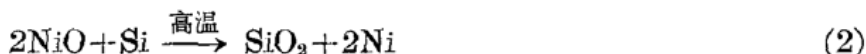
图 5 是镍膜的扫描电镜(SEM)照片。图中出现的无规则的斑点是由于沉积的镍膜呈多晶。其晶粒大小在  $0.2\sim1\mu\text{m}$  之间不等。

#### 四、讨 论

镍膜的沉积过程比较复杂。在激光作用下, 由于硅片表面的  $\text{Ni}_2\text{O}_3$  对  $10.6\mu\text{m}$  的  $\text{CO}_2$  激光有很强的吸收<sup>[5]</sup>, 使  $\text{Ni}_2\text{O}_3$  的温度迅速上升。由光学高温计测得的表面温度为  $1250^\circ\text{C}$ 。在温度高于  $600^\circ\text{C}$  时,  $\text{Ni}_2\text{O}_3$  首先开始分解, 生成一氧化镍和氧气<sup>[6]</sup>



在激光辐照过程中, 真空泵与反应池一直连通, 使反应生成的氧气及时被抽走, 因此方程(1)的反应向生成  $\text{NiO}$  的方向进行。在高温下, 硅片表面首先形成一层  $\text{NiO}$  薄膜。由  $\text{NiO}$  在硅片上沉积金属镍膜的反应途径有两条: 一是通过  $\text{NiO}$  的直接高温分解, 产生镍和氧; 另一条是在高温下硅片表面的还原反应形成镍和二氧化硅。根据  $\text{NiO}$  的自由能和温度的关系曲线<sup>[7]</sup>, 可知在常压下  $\text{NiO}$  的分解温度在  $2000^\circ\text{C}$  以上。气压降低时可使氧化物的分解温度降低, 在气压为  $10^{-6}\text{ atm}$  时,  $\text{NiO}$  的分解温度为  $1350^\circ\text{C}$ 。本实验中反应池的气压在  $10^{-3}\text{ Torr}$  以上, 所以要使  $\text{NiO}$  分解, 温度需在  $1350^\circ\text{C}$  以上, 而用光学高温计测得的反应时的最高温度为  $1250^\circ\text{C}$ , 所以  $\text{NiO}$  的直接分解的可能性不大。在同样的条件下, 用石英基片代替硅片时, 经激光辐照后, 沉积在石英表面的薄膜用 XPS 分析表明是一层  $\text{NiO}$  膜, 没有金属镍的信号。所以实验中沉积镍膜的过程是  $\text{NiO}$  在硅片表面的高温催化还原



根据图 2 AES 谱图中, 在镍与硅衬底界面处出现的氧原子浓度分布的峰值和图 4 X 射线衍射谱图中得到的  $\text{SiO}_2$  的衍射峰, 我们认为硅片表面沉积的膜层结构为: 基底为单晶硅, 最上面是金属镍, 镍与硅界面处出现的氧以  $\text{SiO}_2$  的晶体形式存在于镍与硅之间, 并在  $\text{Ni}-\text{SiO}_2$  和  $\text{SiO}_2-\text{Si}$  两个界面处都有界面互扩散, 整个膜层类似于 MOS 结构。用方块电阻仪测得该结构膜层的方块电阻为  $1\Omega$ 。

该准 MOS 结构膜层的直流反向  $I-V$  曲线, 在电压较低时, 反向电流很小, 在偏置电压超过  $5\text{ V}$  后, 电流随电压指数上升, 电压降低时, 电流随电压原路返回, 曲线的重复性很好。由于条件所限, 对 MOS 结构的动态  $C-V$  性能测试未能进行。

感谢中科院上海冶金所林成鲁副研究员、上海冶炼厂陈怀德工程师的帮助和有益的讨论。

#### 参 考 文 献

- P. A. Gargini, I. Beignglass, International Electron Devices Meeting Technical Digest, edited by the 1981 IEDM Conference Committee, The Institute of Electrical and Electronics Engineers, Inc., New York 1981, p. 1
- J. M. Pont et al., Thin Films-Interdiffusion and Reactions, John Wiley & Sons, Inc., 1978, p. 407
- F. Micheli, I. W. Boyd, Opt. & Laser Tech., 19(1), 19 and its reference(1987)
- I. Ursu et al., J. Appl. Phys., 61(8), 3110(1987)
- R. A. Nyquist, R. O. Kagd, Infrared Spectra of Inorganic Compound(Academic, New York, 1971), p. 221
- 中国医药公司上海化学试剂采购供应站编, 试剂手册(上海科学技术出版社, 1963), p. 492
- A. J. Martin et al., Thin Solid Films, 2, 253(1968)